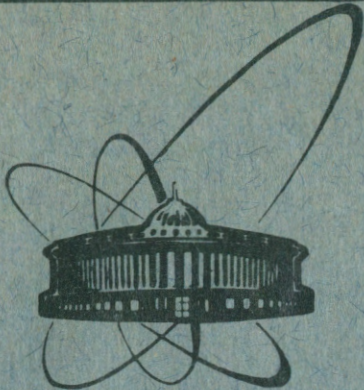


91-251



сообщения
объединенного
института
ядерных
исследований
дубна

13-91-251

Л.Г.Афанасьев, В.В.Карпухин, В.И.Комаров,
В.В.Языков*

ШИРОКОАПЕРТУРНЫЙ СЦИНТИЛЛЯЦИОННЫЙ
ГОДОСКОП НА ФЭУ-85

*Научно-исследовательский институт ядерной физики
МГУ, Москва

1991

Афанасьев Л.Г. и др.

13-91-251

Широкоапertureный сцинтилляционный годоскоп на ФЭУ-85

Описан сцинтилляционный годоскоп для регистрации заряженных частиц, содержащий 48 счетчиков, выполненных на фотоумножителях ФЭУ-85. Система блоков в стандарте КАМАК регистрирует разность времен срабатывания счетчиков, а также их номера. Специальный аппаратный процессор отбирает информацию по номерам сработавших счетчиков. Процедура обработки данных позволяет компенсировать индивидуальные задержки счетчиков и время сбиения света в сцинтилляторе. Разность времен измеряется с точностью $\sigma_t = 0,8$ нс.

Работа выполнена в Лаборатории ядерных проблем ОИЯИ.

Сообщение Объединенного института ядерных исследований. Дубна 1991

Перевод авторов

Afanasyev L.G. et al.

13-91-251

The Wide Aperture Scintillation Hodoscope with FEU-85

A scintillation hodoscope for charged particle detection is described. The hodoscope has 48 counters with photomultipliers FEU-85. A set of CAMAC blocks registers numbers of hit counters and a time interval between signals. A data processing includes a compensation of delays in different channels and a light collection time in the scintillator. The time interval is measured with the accuracy $\sigma_t = 0.8$ ns.

The investigation has been performed at the Laboratory of Nuclear Problems, JINR.

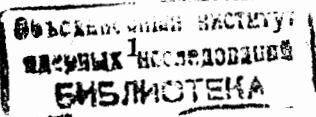
В эксперименте по наблюдению атомов, состоящих из p^+ и p^- незонов^[1], основной фон составляют случайные совпадения. Поэтому временное разрешение установки является важным параметром. В данной работе описан сцинтилляционный гадоскоп, состоящий из 48 счетчиков, выполненных на фотоумножителях ФЭУ-85, используемый для измерения разности времен прохождения двух частиц. Система электронных блоков позволяет регистрировать номера сработавших счетчиков и отбирать информацию на основании этих данных. Описана процедура определения задержек сигналов от каждого счетчика и компенсации времени сортирования света в сцинтилляторе.

Конструкция гадоскопа

Гадоскоп работает в составе двухплечевого магнитного спектрометра установки "ПОЗИТРОНИЙ" на ускорителе У-70 ИФВЭ^[2]. Гадоскоп состоит из двух независимых частей по 24 счетчика. Размер чувствительной области определяется апертурой установки и составляет 1200x410 мм для каждого плача спектрометра. Счетчики, входящие в гадоскоп, полностью независимы и имеют сцинтилляторы размером 430x48x20 мм (20 мм по пучку). Сцинтилляторы просматриваются фотоумножителем с одной стороны через световод длиной 10 см. ФЭУ располагаются в железных контейнерах с дополнительной магнитной защитой из многослойного отожженного пермаллоя. Счетчики в гадоскопе расположены вертикально. Схема размещения гадоскопа в установке приведена на рис. 1.

При выборе делителя для ФЭУ-85 существенными являлись требования:

1) Амплитуда сигнала с ФЭУ должна быть достаточной для работы формирователей без предварительного усиления сигнала непосредственно после ФЭУ.



- 2) Наилучшее временное разрешение гадоскопа.
- 3) Стабильность амплитуд сигналов при загрузках до 10^5 частиц/сек на один счетчик.

4) Изготовление делителей без отбора деталей и получение нужных параметров счетчиков вне зависимости от индивидуальных свойств ФЭУ.

Применение ФЭУ-85 для временных измерений рассматривалось в работах [3,4], авторами которых предложены варианты делителей. Было выполнено сравнение этих делителей и паспортного делителя с использованием светодиодов. Измерения показали, что наиболее полно удовлетворяет всем требованиям паспортный делитель ФЭУ-85 с основным звеном $R = 160 \text{ к}\Omega$ и $C = 47 \text{ нФ}$.

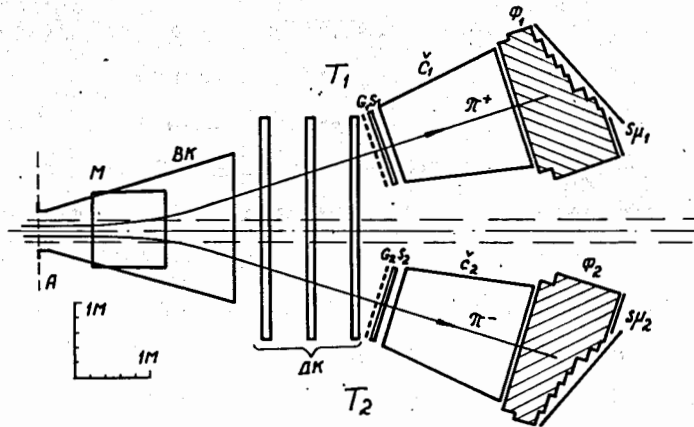


Рис.1. Схема установки: М - спектрометрический магнит, ВК - вакуумная камера канала, ДК - дрейфовые камеры, Т1 и Т2 - телескопы, состоящие из гадоскопа $G_{1(2)}$, сцинтилляционного счетчика $S_{1(2)}$, газового черенковского счетчика $\chi_{1(2)}$, железного фильтра $\Phi_{1(2)}$ и сцинтилляционного счетчика $S\mu_{1(2)}$.

Измерение параметров одного счетчика гадоскопа проводилось на пучке вторичных частиц ускорителя У-70. Счетчик гадоскопа включался в совпадения с двумя сцинтилляционными счетчиками размером $45 \times 45 \text{ мм}$. Это позволило исключить влияние координаты прохождения частицы на временное разрешение. Электронная схема измеряла разность времен срабатывания двух счетчиков и амплитуду сигнала. По дисперсии разности времен для каждой пары из трех счетчиков вычислялось временное разрешение счетчика гадоскопа. В результате измерений определены следующие параметры одного счетчика гадоскопа:

- 1) Разрешающее время: $\Delta t = 1,5 \text{ нс}$ (ширина на полувысоте).
- 2) Амплитуда сигнала от релятивистских частиц при напряжении питания, соответствующем анодной чувствительности ФЭУ 100 А/лм , на нагрузке 50 Ом составляет $120 \div 200 \text{ мВ}$.
- 3) Ослабление сигнала с дальнего от ФЭУ конца счетчика не более 30%.

Электронная схема гадоскопа

Электронная схема гадоскопа выполняет следующие функции.

1. Использует результаты анализа данных гадоскопа при формировании триггера установки.
2. Регистрирует номера сработавших счетчиков гадоскопа.
3. Измеряет разности времен прохождения частиц в двух плечах гадоскопа или разность времен прохождения двух частиц в одном плече.
4. Выполняет аппаратный отбор событий, в которых разность номеров сработавших счетчиков в двух плечах спектрометра находится в заданных пределах.

5. Измеряет амплитуды сигналов генератора.

Электроника годоскопа (рис.2) состоит из специально разработанных блоков в стандарте КАМАК: К407 - формирователь, К408 - регистр, К409 - процессор, и стандартных блоков КАМАК, изготавляемых в ЛЯП ОИЯИ: КА010 - преобразователь заряд-код^[5], КАЗ03 - преобразователь время-код, КЛ360 - мажоритарная схема совпадений^[6].

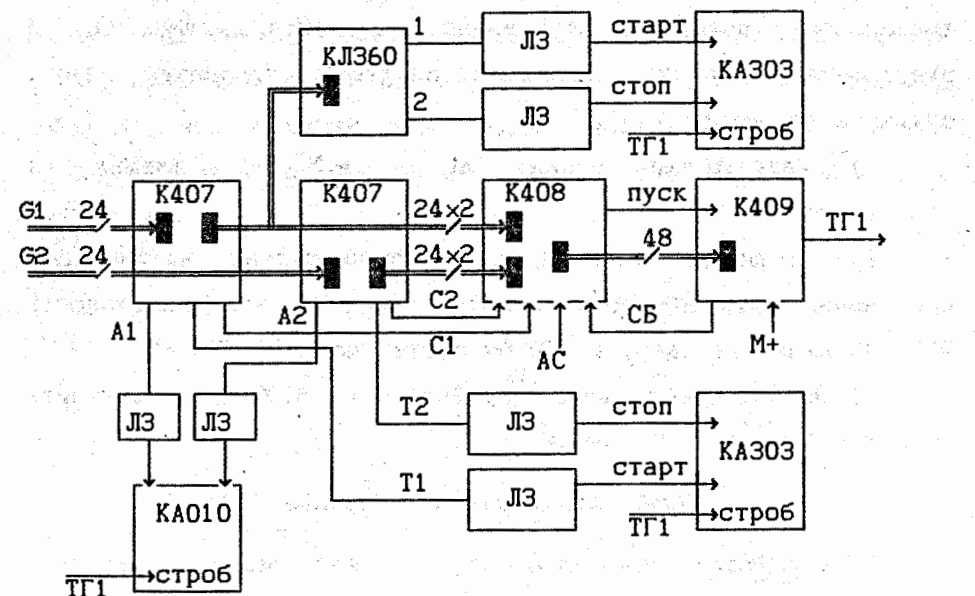


Рис. 2. Блок-схема электроники годоскопа.

Сигналы со счетчиков двух плеч гаммоскопа G1 и G2 поступают на входы блоков K407. Блок K407 состоит из 24 формирователей, линейного сумматора входных сигналов и формирователя точной временной привязки, подключенного к выходу сумматора. Аналоговая сумма входных сигналов подается

на выход A1(A2) для амплитудного анализа. Сигнал точной временной привязки с выхода T1(T2) поступает через линию задержки ЛЗ на время - цифровой преобразователь КАЗ03, который измеряет разность времен между сигналами T1 и T2 с I и II плеча гиростата. Сигнал логической суммы подается на выход C1(C2) для стробирования данных в регистре K408.

Нулевой уровень на выходе линейного сумматора стабилизируется операционным усилителем, включенным в цепь обратной связи сумматора, что позволяет уменьшить влияние нестабильности источников входных сигналов на режим работы сумматора. Постоянная интегрирования в цепи обратной связи $\tau_+ = 5$ мин.

Порог срабатывания формирователей регулируется в пределах 10 - 250 мВ. Точность временной привязки по каналам суммирования $\Delta t = \pm 150$ нс. Ширина блока 2М.

По сигналам С1 и С2 данные с обоих плеч гиростроя заносятся в регистры блока К408. В зависимости от режима работы блока запись в соответствующие регистры производится по сумме сигналов С1 и С2, или при их совпадении в пределах заданного времени (10-30нс). Вход АС используется в режиме ожидания подтверждения приема данных: регистры будут сброшены, если сигнал на этот вход не поступит в интервале $T_w = 100 \div 400$ нс. Записанные в блок данные могут быть считаны как по шине КАМАК, так и по внешнейшине. Блок К408 содержит два 24-разрядных регистра. Входы ЭСЛ -парафазные, выходы ЭСЛ - логической 1 соответствует низкий уровень, ширина блока 2М.

Процессор К409 считывает данные из регистров и определяет, выполняется ли условие $|A-B| \leq C$, где A - номер одного из сработавших счетчиков первого плеча гиростабилизатора, B -

номер счетчика во втором плече гамма-спектрометра, $8 \geq c \geq 0$. При положительном решении процессор ожидает в течение времени $T_w = 100-400$ нс прихода сигнала триггера нулевого уровня $M+$. Если сигнал $M+$ появляется в интервале T_w , то вырабатывается триггер установки первого уровня (ТГ1). При отрицательном решении или отсутствии $M+$ вырабатывается сигнал быстрого сброса СБ регистра K408 и блокируется вход $M+$. Процессор выполнен на основе сдвиговых регистров. Время принятия решения 100 нс.

Для измерения разности времен при регистрации двух частиц в одном плече гамма-спектрометра данные с блока K407 разветвляются и поступают на вход мажоритарной схемы совпадения КЛ360. Сигналы с выходов кратности 1 и 2 через линии задержки ЛЗ поступают на входы "Старт" и "Стоп" времени-цифрового преобразователя КА303.

Определение разрешающего времени гамма-спектрометра

При обработке данных с гамма-спектрометра выполнялась коррекция разности времен прохождения двух частиц, учитываяшая индивидуальные задержки сигналов от каждого счетчика и время собирания света в сцинтилляторе.

Индивидуальные задержки каждого счетчика определялись по специально набранной для этого информации. Спектрометр регистрировал истинные совпадения e^+ и e^- в двух плечах. Аппаратным образом отбирались только те события, у которых треки e^+ и e^- имели близкие значения вертикальных координат ($\Delta Y \leq 22$ мм).

Индивидуальные задержки определялись с помощью процедуры, основанной на методе наименьших квадратов (МНК).

Рассматривается сумма:

$$S = \sum_{i=1}^{24} \sum_{j=j_1}^{j_2} (Z_{2j} - Z_{1i} - \Delta t_{ij})^2. \quad (1)$$

Здесь Z_{1i} - задержка i -го счетчика в I плече, Z_{2j} - задержка j -го счетчика во II плече, Δt_{ij} - экспериментально определенная средняя разность времен при срабатывании i -го счетчика в I плече и j -го во II.

$$\Delta t_{ij} = \frac{1}{N_{1j}} \sum_{k=1}^{N_{1j}} T_{ijk}, \quad (2)$$

где N_{1j} - количество срабатываний данной пары счетчиков, T_{ijk} - разность времен при k -м срабатывании. Пределы внутренней суммы в (1) j_1 и j_2 зависят от i и определялись интервалом номеров счетчиков отбираемых процессором гамма-спектрометра во время набора информации.

Сумма (1) достигает минимума при истинных значениях Z_{nl} ($n=1,2$, $l=1,24$). Дифференцируя S по Z_{nl} , получаем систему линейных уравнений

$$\frac{\partial S}{\partial Z_{nl}} = 0. \quad (3)$$

Данная система линейно зависима, для ее решения вводится уравнение

$$Z_{15} = 0, \quad (4)$$

фиксирующее задержку для одного счетчика.

Вычисленный таким образом максимальный разброс задержек составил 3 нс. Эта величина в основном определяется разбросом параметров ФЭУ. В дальнейшем индивидуальные задержки были скомпенсированы подбором длин кабелей.

Величины временного разрешения отдельных счетчиков

определялись по аналогичной процедуре на том же экспериментальном материале. Рассматривается сумма

$$S_{\sigma} = \sum_{i=1}^{24} \sum_{j=j_1}^{J_2} (D_{1i} + D_{2j} - D_{ij}(\Delta t))^2. \quad (5)$$

Здесь D_{1i} - дисперсия i -го счетчика в I плече, D_{2j} - дисперсия j -го счетчика во II плече, $D_{ij}(\Delta t)$ - экспериментально определенная дисперсия разности времен срабатывания данной пары счетчиков.

$$D_{ij}(\Delta t) = \frac{1}{N_{ij}} \sum_{k=1}^{N_{ij}} T_{ijk}^2 - \frac{1}{N_{ij}^2} \left(\sum_{k=1}^{N_{ij}} T_{ijk} \right)^2. \quad (6)$$

Система уравнений для вычисления дисперсий получалась дифференцированием S_{σ} по D_{nl} аналогично (3). В качестве дополнительного условия для решения системы уравнений использовано предположение, что дисперсии счетчиков в I и II плече в среднем равны.

Среднеквадратичное отклонение σ_t для времени срабатывания счетчиков приведено на рис.3. По оси абсцисс отложено σ_t , по оси ординат число счетчиков с разрешением σ_t . Среднее значение σ_t составляет 0,60 нс. Счетчики с худшим времененным разрешением в дальнейшем были заменены.

Для коррекции разности времен прохождения двух частиц на время сортирования света в сцинтилляторе вводилась функция $\delta t = \delta t(Y)$ зависимости времени сортирования света в одном счетчике от Y-координаты попадания частицы. Считалось, что $\delta t(Y)$ одинакова для всех счетчиков и $\delta t(0)=0$. Для описания $\delta t(Y)$ использовался полином третьей степени. Коэффициенты полинома определялись на экспериментальном материале, содержащем

истинные совпадения e^+ -и e^- -пар в двух плечах гаммоскопа. Эта информация была скорректирована на индивидуальные задержки сигналов в счетчиках, никаких ограничений на вертикальные координаты треков не вводилось. Y-координаты прохождения частиц через счетчик определялись из трековой информации спектрометра. По методу МНК аналогично (1),(5) были определены параметры полинома, описывающего $\delta t(Y)$. Найденная зависимость $\delta t(Y)$ приведена на рис.4.

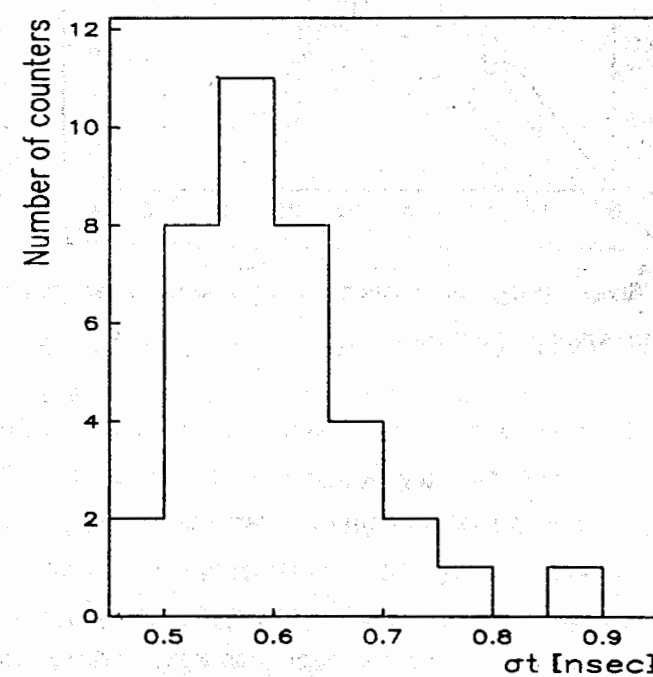


Рис.3. Временное разрешение счетчиков гаммоскопа. По оси абсцисс среднеквадратичное разрешение σ_t в нс, по оси ординат число счетчиков, имеющих данное разрешение.

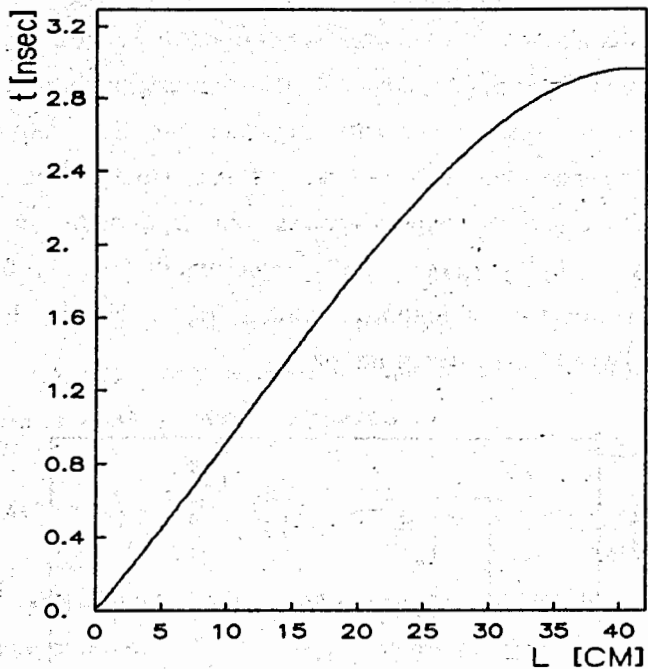


Рис.4. Время собирания света в счетчике в зависимости от координаты попадания частицы.

На рис.5 приведено распределение истинных совпадений $e^+ e^-$ по разности времен прохождения через гаммоскоп. Сплошная линия - исходное распределение, дисперсия $\sigma_t = 1,78$ нс. Пунктирная линия - это же распределение после введения компенсации индивидуальных задержек в счетчиках, $\sigma_t = 1,04$ нс. Штрихпунктирная линия - это же распределение после коррекции на время собирания света. После выполнения всех коррекций среднеквадратичное отклонение разности времен составляет $\sigma_t = 0,81$ нс.

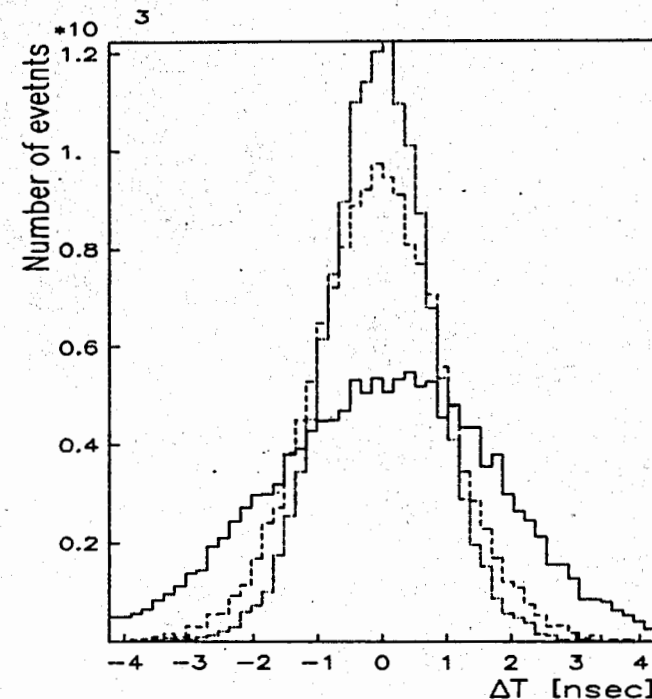


Рис.5. Распределение истинных совпадений $e^+ e^-$ по разности времен прохождения через гаммоскоп.

Заключение

Применение описанного выше гаммоскопа улучшило временное разрешение установки в 2 раза, что позволило обнаружить эффект резкого увеличения выхода пар $\pi^+ \pi^-$ -мезонов при малых относительных импульсах [7,8].

В заключение авторы выражают благодарность Г.Д. Алексееву за участие в изготовлении гаммоскопа и Н.А. Владимировой, В.М. Кудрявцеву, С.Г. Пластининой, В.А. Смирнову, В.Ф. Чуркиной за выполнение технических работ.

ЛИТЕРАТУРА

1. Неменов Л.Л. - ЯФ, 1985, т.41, с.980.
2. Афанасьев Л.Г. и др. - Сообщение ОИЯИ, Р13-90-527, Дубна, 1990.
3. Бондаренко В.Г. и др. - ПТЭ, 1975, т.4, с.160.
4. Акимов Д.Ю., Самойленко В.Т. - ПТЭ, 1983, т.4, с.178.
5. Антиков В.А. и др. - Сообщение ОИЯИ, 10-82-844, Дубна, 1982.
6. Борейко В.Ф. и др. - Сообщение ОИЯИ, Р10-85-661, Дубна, 1985.
7. Афанасьев Л.Г. и др. - ЯФ, 1990, т.52, с.1046.
8. Afanasyev L.G. et al. - Phys.Lett., 1991, v.255B, p.146.

Рукопись поступила в издательский отдел
3 июня 1991 года.